

UNIVERSIDADE DE SÃO PAULO
INSTITUTO DE FÍSICA DE SÃO CARLOS

INTRODUÇÃO À FÍSICA COMPUTACIONAL

Projeto 4

Levy Bruno do Nascimento Batista — 11212550

Prof. Francisco Castilho Alcaraz

São Carlos
11/2021 — 12/2021

1 Tarefa A

Nessa primeira tarefa, foi estudado o movimento de um pêndulo simples a partir de dois métodos diferentes de discretização do tempo, analisando os comportamentos de $\theta(t)$ e $E(t)$ de cada um, e assim sendo possível estabelecer qual é o mais adequado. Os métodos em questão são o de Euler e o de Euler-Cromer, cuja diferença está na iteração dos valores de ângulo.

No código abaixo, cada método foi implementado em uma subrotina diferente, e as condições iniciais para ambas situações são as mesmas, isto é, $\theta_0 = 15^\circ$ e $\omega_0 = 0$, e a seguir estão os gráficos das simulações para 10 períodos. Em cada subrotina, um arquivo com os instantes de tempo e os respectivos ângulo e energia do sistema é gerado.

tarefa-A-11212550.f:

```
1      program tarefaA
2
3      implicit real*8 (a-h,o-z)
4  c    pi, comp e g serão utilizadas nas subrotinas
      implementadas
5      common /cte/pi, comp, g
6      pi = dacos(-1.d0)
7      comp = 9.8d0
8      g = 9.8d0
9
10 c    subrotina que calcula theta e E pelo método de Euler
11      theta = pi/12
12      omega = 0.d0
13
14      call euler(theta, omega)
15
16 c    subrotina que calcula theta e E pelo método de
      Euler-Cromer
17      theta = pi/12
18      omega = 0.d0
19
20      call euler_cromer(theta, omega)
21
22      end
23
24      subroutine euler (ang, vel)
25
26      implicit real*8 (a-h,o-z)
27      common /cte/pi, comp, g
28  c    intervalo utilizado na discretização do tempo
29      deltat = 0.01d0
30  c    tempo total de simulação
31      T = 0.d0
32
```

```

33      open(1, file='1saida-A-11212550')
34      write(1, 100) 't(s)', '|', 'theta(rad)', '|', 'E(J)'
35      E = (comp*vel)**2/2 + g*comp*(1.d0 - dcos(ang))
36      write(1, 200) T, '|', ang, '|', E
37  10    if (T.le.20*pi) then
38          velaux = vel
39  c      itera os valores de theta e omega
40          vel = vel - ang*deltat
41          ang = ang + velaux*deltat
42  c      calcula o novo valor de energia do sistema
43          E = (comp*vel)**2/2 + g*comp*(1.d0 - dcos(ang))
44  c      registra a passagem do tempo
45          T = T + deltat
46          write(1, 200) T, '|', ang, '|', E
47          goto 10
48      end if
49      close(1)
50
51  100    format(A5, A, A10, A, A4)
52  200    format(F5.2, A, F10.5, A, F9.6)
53
54      end
55
56      subroutine euler_cromer (ang, vel)
57
58          implicit real*8 (a-h,o-z)
59          common /cte/pi, comp, g
60  c      intervalo utilizado na discretização do tempo
61          deltat = 0.01d0
62  c      tempo total de simulação
63          T = 0.d0
64
65          open(1, file='2saida-A-11212550')
66          write(1, 100) 't(s)', '|', 'theta(rad)', '|', 'E(J)'
67          E = (comp*vel)**2/2 + g*comp*(1.d0 - dcos(ang))
68          write(1, 200) T, '|', ang, '|', E
69  10    if (T.le.20*pi) then
70  c      itera os valores de theta e omega
71          vel = vel - ang*deltat
72          ang = ang + vel*deltat
73  c      calcula o novo valor de energia do sistema
74          E = (comp*vel)**2/2 + g*comp*(1.d0 - dcos(ang))
75  c      registra a passagem do tempo
76          T = T + deltat
77          write(1, 200) T, '|', ang, '|', E
78          goto 10
79      end if
80      close(1)
81
82  100    format(A5, A, A10, A, A4)

```

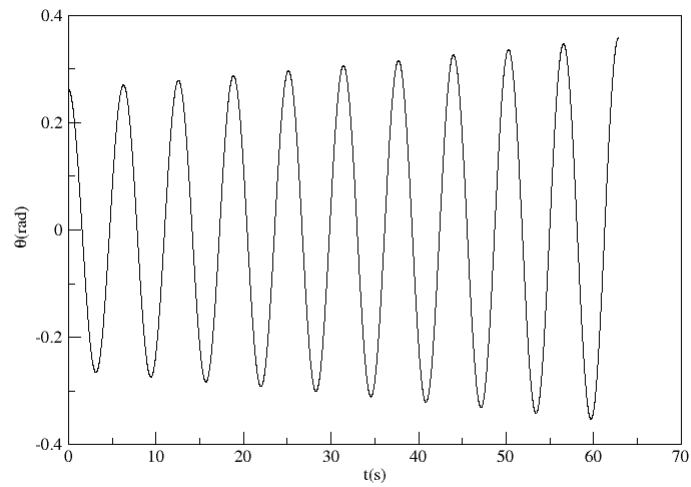
```

83 200    format(F5.2, A, F10.5, A, F9.6)
84
85    end

```

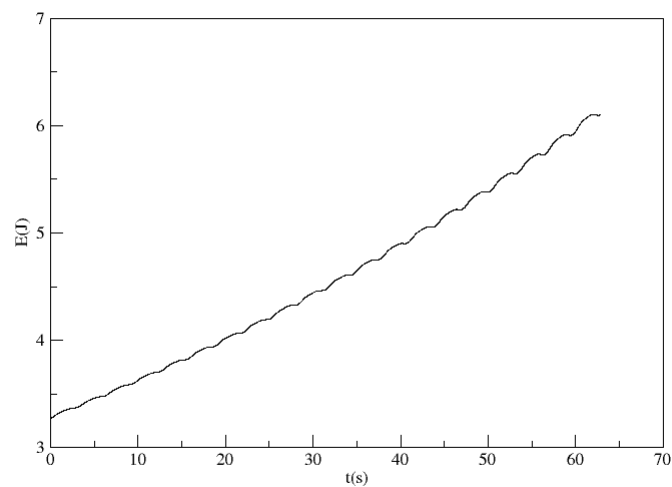
O programa gerou os seguintes resultados para o método de Euler:

Figura 1: Ângulo em relação a vertical por tempo.



De início, observa-se a inconsistência entre o resultado exposto na Figura 1 e o esperado pela teoria, uma vez que a amplitude do pêndulo está crescendo com o tempo. Essa inconsistência fica mais evidente no gráfico de $E(t)$.

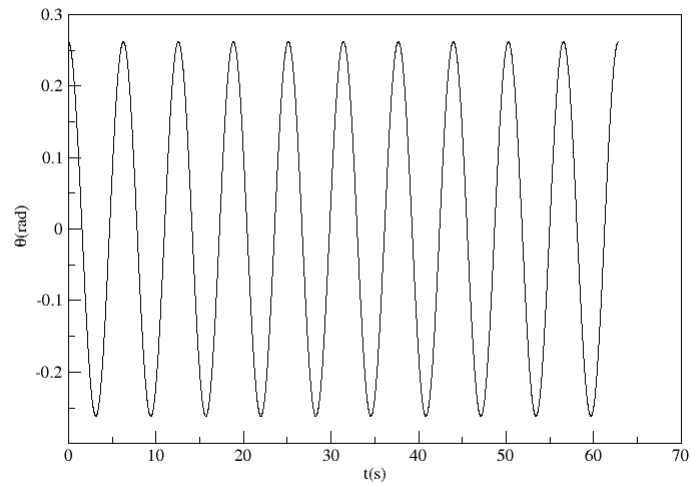
Figura 2: Energia do sistema por tempo.



O gráfico da Figura 2 evidencia que o método de Euler não é adequado para estudar esse problema, pois ele leva a energia crescer indefinidamente, não respeitando o princípio da conservação de energia.

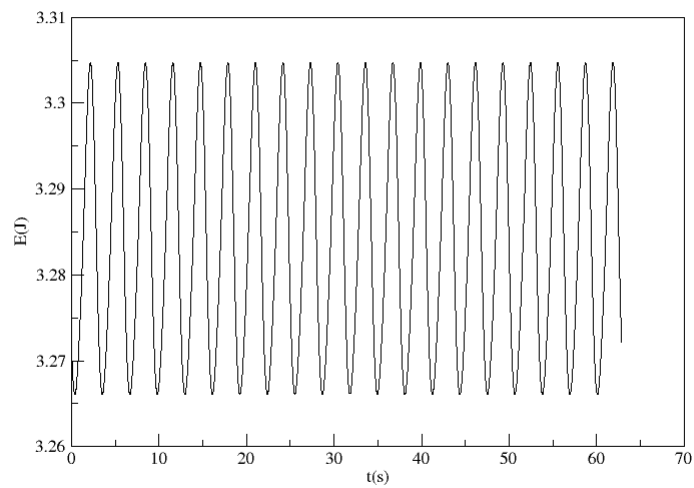
Agora, segue os resultados obtidos pelo método de Euler-Cromer:

Figura 3: Ângulo em relação a vertical por tempo.



Dessa vez, a amplitude de oscilação permanece a mesma, o que era esperado pela teoria.

Figura 4: Energia do sistema por tempo.



Já a energia se comporta de forma diferente da esperada, uma vez que ela está oscilando no tempo, mas a amplitude é baixa em relação ao valor máximo que ela alcança e a mesma não diverge, como acontece com o método anterior, logo o método de Euler-Cromer gera resultados mais próximos do teórico.

2 Tarefa B

Na segunda tarefa, nas duas primeiras partes foram estudadas a dependência do período com o ângulo inicial de acordo com o método de Euler-Cromer sem aproximar para ângulos pequenos, com o resultado numérico da integral elíptica presente no roteiro e da fórmula com a aproximação em segunda ordem em θ também presente no roteiro; na terceira parte, é acrescentado o termo de amortecimento no estudo de oscilações e na quarta o termo associado à força externa. Nesse último são traçados gráficos de ângulo e velocidade angular em função do tempo para 3 valores diferentes de amplitude de força externa, sendo possível observar qual a resposta do sistema para diferentes estímulos.

No código abaixo, a subrotina B1 está relacionada com o itens B1 e B2, enquanto a B3 está com o item B3 e a B4 com o item B4 do roteiro. Em todas elas são gerados arquivos de saída com dados importantes para a compreensão do problema.

tarefa-B-11212550.f:

```

1      program tarefaB
2
3      implicit real*8 (a-h,o-z)
4  c    pi foi definido dessa forma pois será usado nas
      subrotinas
5      common /cte/pi
6      pi = dacos(-1.d0)
7
8  c    as três subrotinas são chamadas em sequência
9      call B1()
10     theta = pi/18
11     omega = 0.d0
12     call B3(theta, omega)
13     theta = pi/18
14     omega = 0.d0
15     call B4(theta, omega)
16
17     end
18
19     subroutine B1 ()
20
21     implicit real*8 (a-h,o-z)
22     common /cte/pi
23  c    intervalo utilizado na discretização do tempo
24     deltat = 0.01d0

```

```

25 c      ângulo inicial, que vai sendo alterado até pi/3
26      ang = pi/36
27 c      epsilon utilizado no cálculo da integral elíptica
28      e = 0.001d0
29 c      número de divisões do intervalo de integração por Boole
30      n = 384
31      open(1,file='1saida-B-11212550')
32      write(1, 100) 'theta0', '|', 'T/Euler-Cromer', '|',
33      +           'T/integral', '|', 'T/fórmula'
34
35      do i = 1, 12
36 c      método de Euler-Cromer para encontrar o período
37      angaux = ang
38      vel = 0.d0
39      k = 0
40      T = 0.d0
41 10      if (T.le.3*pi) then
42          angaux2 = angaux
43          vel = vel - dsin(angaux)*deltat
44          angaux = angaux + vel*deltat
45          T = T + deltat
46 c      marca a primeira vez que o ângulo mda de sinal
47      if (angaux2*angaux.lt.0.and.k.eq.1) then
48          Tf = T
49          k = 2
50      end if
51 c      marca a segunda vez que o ângulo muda de sinal
52      if (angaux2*angaux.lt.0.and.k.eq.0) then
53          Ti = T
54          k = 1
55      end if
56      goto 10
57      end if
58 c      cálculo da integral elíptica
59      valor = 4*dsqrt(2*e/dsin(ang))
60      thint = 0
61      h = (ang - e)/n
62 c      cálculo da parte numérica pelo método de Boole
63      do j = 0, (n/4 - 1)
64          thint=thint +
65          +           (2*h/45)*(7/dsqrt(dcos(4*j*h)-dcos(ang))+
66          +           32/dsqrt(dcos((4*j+1)*h)-dcos(ang))+
67          +           12/dsqrt(dcos
68          +           ((4*j+2)*h)-dcos(ang))+
69          +           32/dsqrt(dcos((4*j+3)*h)-
70          +           dcos(ang))+
71          +           7/dsqrt(dcos((4*j+4)*h)-dcos(ang)))
72      end do
73      thint = 2*dsqrt(2.d0)*thint
74 c      soma das partes analítica e numérica

```



```

71      valor = valor + thint
72      write(1, 200) ang*180/pi, '|', 2*(Tf - Ti), '|',
      valor,
73      + '|', 2*pi*(1 + ang**2/16)
74 c      incremento do ângulo inicial
75      ang = ang + pi/36
76      end do
77      close(1)
78
79 100      format(A8, A, A14, A, A10, A, A10)
80 200      format(F8.1, A, F14.2, A, F10.2, A, F9.2)
81      end
82
83      subroutine B3 (ang, vel)
84
85          implicit real*8 (a-h,o-z)
86          common /cte/pi
87 c      intervalo utilizado na discretização do tempo
88          deltat = 0.01d0
89 c      tempo total de movimento
90          T = 0.d0
91 c      coeficiente de amortecimento
92          q = 0.5d0
93
94          open(1, file='2saida-B-11212550')
95          write(1, 100) 't(s)', '|', 'theta(rad)'
96 10      if (T.le.10*pi) then
97 c      aplicação do método de Euler-Cromer
98          write(1, 200)T, '|', ang
99          vel = vel - dsin(ang)*deltat - q*vel*deltat
100         ang = ang + vel*deltat
101         T = T + deltat
102         goto 10
103     end if
104     write(1, 200)T, '|', ang
105     close(1)
106
107 100     format(A9, A, A10)
108 200     format(F9.2, A, F8.5)
109
110     end
111
112     subroutine B4 (ang, vel)
113
114         implicit real*8 (a-h,o-z)
115         common /cte/pi
116 c      intervalo utilizado na discretização do tempo
117         deltat = 0.03d0
118 c      tempo total de movimento
119         T = 0.d0

```

```

120 c      coeficiente de amortecimento
121      q = 0.5d0
122 c      amplitude da força externa
123      F0 = 1.2d0
124 c      frequência da força externa
125      omegaF = 2.d0/3
126
127      open(1, file='3saida-B-11212550')
128      open(2, file='4saida-B-11212550')
129      write(1, 100) 't(s)', '|', 'theta(rad)'
130      write(2, 100) 't(s)', '|', 'vel(rad/s)'
131  10    if (T.le.20*pi) then
132 c      aplicação do método de Euler-Cromer
133      write(1, 200)T, '|', ang
134      write(2, 200)T, '|', vel
135      vel = vel - dsin(ang)*deltat - q*vel*deltat
136      +      + F0*dsin(omegaF*T)*deltat
137      ang = ang + vel*deltat
138      T = T + deltat
139      goto 10
140    end if
141      write(1, 200)T, '|', ang
142      write(2, 200)T, '|', vel
143      close(1)
144      close(2)
145
146  100    format(A9, A, A10)
147  200    format(F9.2, A, F8.5)
148
149      end

```

2.1 B1

Nesse primeiro item, foram feitas medidas de período para 12 ângulos iniciais diferentes de duas formas distintas; a primeira pelo método de Euler-Cromer, pegando dois instantes de tempo seguidos nos quais o ângulo inverte de sinal, sendo o intervalo entre esses dois instantes igual a meio período, e a segunda resolvendo numericamente a integral elíptica:

$$T = \sqrt{\frac{2l}{g}} \int_{-\theta_0}^{\theta_0} \frac{d\theta}{\sqrt{\cos\theta - \cos\theta_0}}$$

de acordo com o método apresentado pelo professor. No cálculo da parte sem a singularidade foi utilizado o método de Boole, com o intervalo de integração sendo dividido em $N = 384$ partes, que mostrou ser o intervalo que gera o menor desvio para tal método, segundo Projeto 3.

1saida-B-11212550:

1	theta0	T/Euler-Cromer	T/integral	T/fórmula
2	5.0	6.28	6.29	6.29
3	10.0	6.30	6.29	6.30
4	15.0	6.30	6.31	6.31
5	20.0	6.34	6.33	6.33
6	25.0	6.36	6.36	6.36
7	30.0	6.38	6.39	6.39
8	35.0	6.42	6.43	6.43
9	40.0	6.48	6.48	6.47
10	45.0	6.54	6.54	6.53
11	50.0	6.60	6.60	6.58
12	55.0	6.66	6.67	6.65
13	60.0	6.74	6.75	6.71

Os valores obtidos por essas duas formas correspondem às duas primeiras colunas da tabela acima. Observe que há grande concordância entre os dois métodos, mesmo para ângulos iniciais grandes, o que mostra que o algoritmo de Euler-Cromer adaptado (com $\sin\theta$ no lugar de θ) pode ser utilizado para calcular o período de oscilação, uma vez que gera resultados muito próximos do esperado pela teoria.

2.2 B2

Ainda sobre a tabela exposta no item anterior, na última coluna estão os valores de período obtidos segundo a expressão:

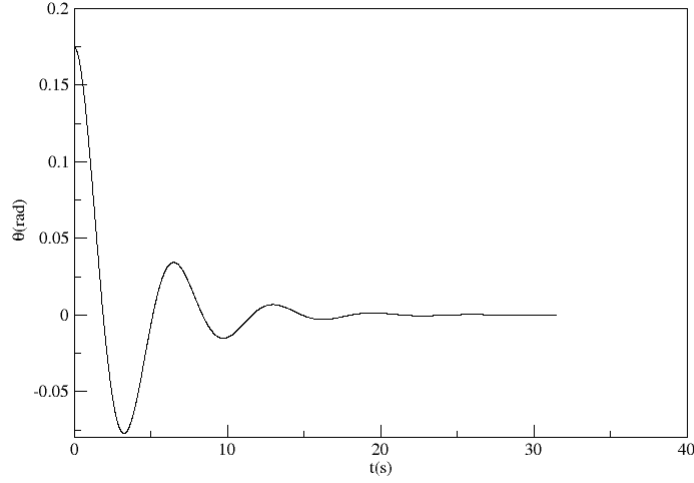
$$T = 2\pi\sqrt{\frac{l}{g}}\left(1 + \frac{\theta^2}{16}\right)$$

Note que esses resultados estão de acordo com os outros dois métodos até $\theta_0 = 35,0^\circ$, e a partir daí os desvios tendem a crescer conforme o ângulo inicial vai aumentando. Isso se dá porque a expressão "correta" é uma série infinita em θ , e a fórmula acima é apenas uma aproximação em segunda ordem, de forma que, para ângulos maiores, os termos de ordem mais alta começam a aparecer no resultado. Veja ainda que, para ângulos pequenos ($\theta_0 < 15^\circ$), o resultado varia pouco, o que mostra que o período praticamente independe do ângulo inicial nesse intervalo, que corresponde ao limite das oscilações harmônicas.

2.3 B3

Agora, numa nova adaptação ao algoritmo de Euler-Cromer, o termo associado à força resistiva é adicionado. Nesse caso, e em todos no qual essa força for considerada, o coeficiente de amortecimento γ é tomado como $\gamma = 0,5$. Na subrotina B3 são gerados os dados de $\theta(t)$ para esse caso, que podem ser visualizados no gráfico da Figura 5.

Figura 5: Ângulo em relação a vertical por tempo.

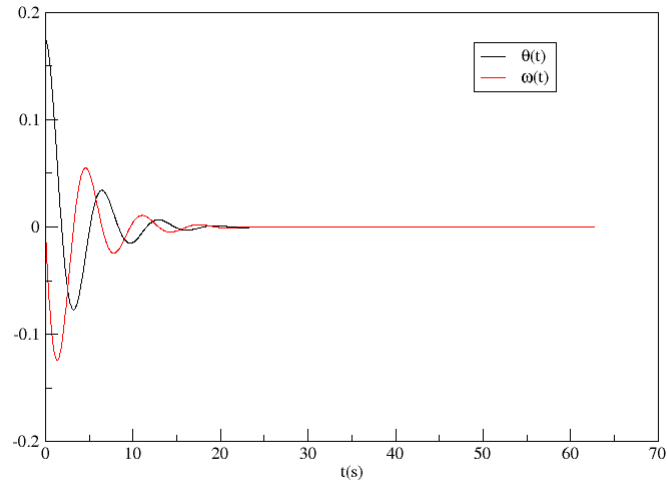


Observe que o sistema se encontra no regime de amortecimento subcrítico, no qual ele oscila algumas vezes antes da força resisitiva dissipar toda energia mecânica. Isso se confirma pelo fato de que, substituindo os valores utilizados, $\frac{\gamma^2}{4} - \omega_0^2 = \frac{1}{16} - 1 < 0$, o que é esperado no regime subcrítico.

2.4 B4

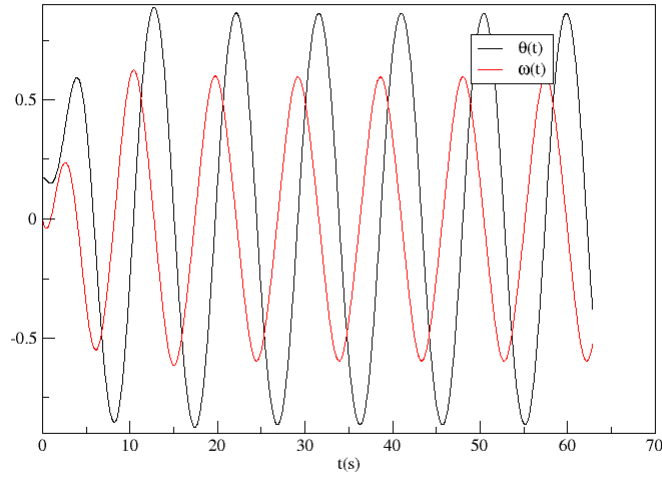
Agora, além de se considerar o termo de amortecimento, temos também o termo associado a um forçamento externo. A subrotina B4 opera de forma semelhante à B3, a diferença se encontra na modificação do algoritmo de Euler-Cromer para encaixar o termo de F_0 , cujo valor pode ser alterado no início do código; nesse sentido, foram construídos gráficos de $\theta(t)$ e $\omega(t)$ para 3 valores diferentes de F_0 , de forma que foi possível observar diferenças significativas na resposta do sistema nos 3 casos.

Figura 6: Ângulo e velocidade angular por tempo para $F_0 = 0$.



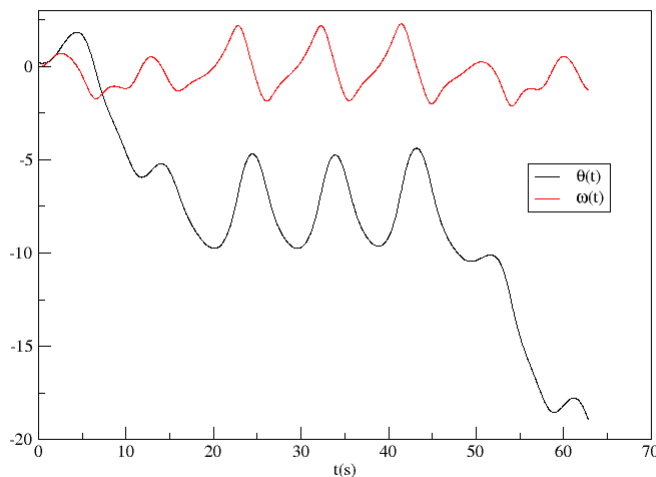
O primeiro caso, que corresponde à $F_0 = 0$, é o mesmo estudado no item B3, com a diferença que agora podemos visualizar também o comportamento de $\omega(t)$. Ambas as curvas presentes na Figura 6 estão de acordo com o resultado esperado pela teoria para um amortecimento subcrítico.

Figura 7: Ângulo e velocidade angular por tempo para $F_0 = 0,5$.



Já para o caso que $F_0 = 0,5$, observou-se que, após um curto período inicial no qual o termo transiente prevalece, o sistema passa a oscilar com um período bem definido, dado aproximadamente por $T = 26,85 - 17,43 = 9,42$ s (esses dois instantes de tempo correspondem aos primeiros momentos no regime estacionário nos quais o ângulo é mínimo). Note que esse valor está bastante coerente com o esperado teórico, o qual é dado por $T = \frac{2\pi}{\frac{2}{3}} = 3\pi \approx 9,42$ s.

Figura 8: Ângulo e velocidade angular por tempo para $F_0 = 1, 2$.



Por fim, para o caso $F_0 = 1, 2$, percebe-se que o movimento não é mais periódico, mesmo apresentando algumas poucas oscilações no meio da simulação e a velocidade não aparente divergir no intervalo estudado, o ângulo rapidamente cresce para valores muito maiores que θ_0 , em módulo (os valores de θ maiores que 2π em módulo mostram que o pêndulo chega a dar várias voltas em torno do ponto de suporte). Nesse caso, diferentemente dos dois anteriores que representam movimentos determinísticos, o sistema se comporta de maneira caótica, o que pode ser confirmado na próxima tarefa.

3 Tarefa C

Nessa terceira tarefa, foi estudado mais a fundo o movimento caótico resultante do $F_0 = 1, 2$, comparando ainda com a situação determinística associada a $F_0 = 0, 5$; para isso, analisou-se o comportamento do $\Delta\theta(t)$ para dois osciladores sob mesmo forçamento externo e velocidade inicial nula, com $\Delta\theta(0) = 0,001$ rad. É interessante observar como esse parâmetro evoluiu de forma diferente para cada caso, de forma que, para cada um deles, estimou-se o expoente de *Liapunov* λ a partir do gráfico de $\Delta\theta(t)$ em escala semi-logarítmica.

No código abaixo, o valor de F_0 pode ser facilmente alterado no início, junto com as condições iniciais de cada oscilador. O programa gera ainda um arquivo de saída com os dados da evolução da diferença de ângulo ao longo do tempo.

tarefa-C-11212550.f:

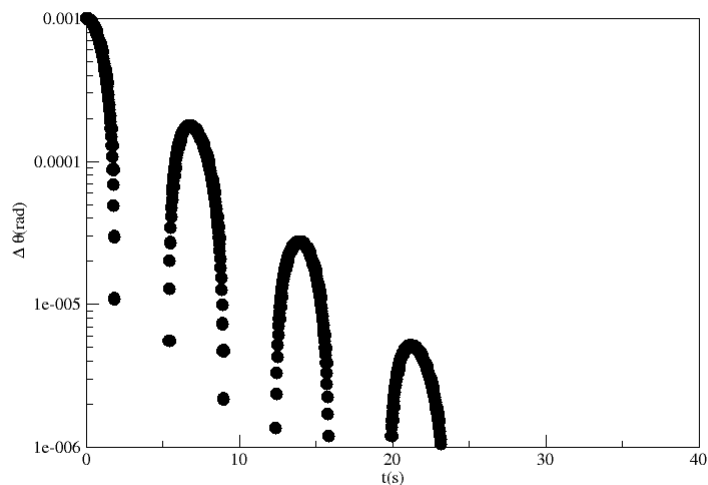
```

1      program tarefaC
2
3      implicit real*8 (a-h,o-z)
4      pi = dacos(-1.d0)
5  c    ângulos e velocidades iniciais para os dois osciladores
6      ang1 = pi/18
7      ang2 = ang1 + 0.001d0
8      vel1 = 0.d0
9      vel2 = 0.d0
10 c    intervalo utilizado na discretização do tempo
11      deltat = 0.03d0
12 c    tempo total de movimento
13      T = 0.d0
14 c    termo de amortecimento
15      q = 0.5d0
16 c    amplitude da força externa
17      F0 = 1.2d0
18 c    frequência da força externa
19      omegaF = 2.d0/3
20
21      open(1, file='saida-C-11212550')
22      write(1, 100) 't(s)', '|', 'theta(rad)'
23  10   if (T.le.200*pi) then
24       write(1, 200)T, '|', ang2-ang1
25  c    algoritmo de Euler-Cromer para os dois osciladores
26       vel1 = vel1 - dsin(ang1)*deltat - q*vel1*deltat+
27       +      F0*dsin(omegaF*T)*deltat
28       ang1 = ang1 + vel1*deltat
29       vel2 = vel2 - dsin(ang2)*deltat - q*vel2*deltat+
30       +      F0*dsin(omegaF*T)*deltat
31       ang2 = ang2 + vel2*deltat
32       T = T + deltat
33       goto 10
34   end if
35       write(1, 200)T, '|', ang2-ang1
36       close(1)
37
38  100   format(A6, A, A10)
39  200   format(F6.2, A, F11.7)
40
41      end

```

Primeiro, observa-se o comportamento do sistema não caótico.

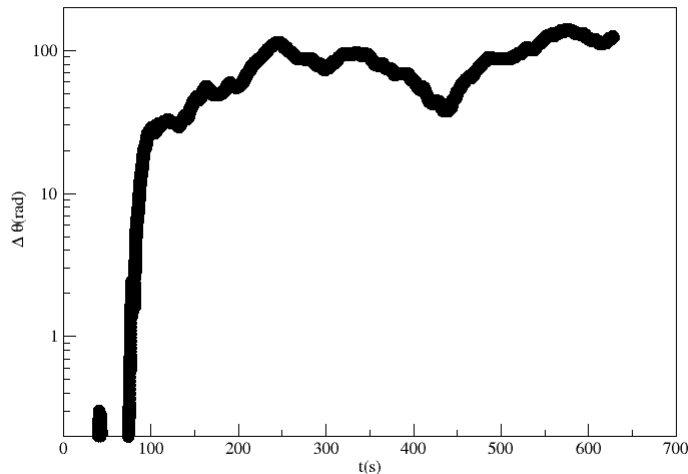
Figura 9: Diferença de ângulo por tempo para $F_0 = 0,5$, escala semilog.



Foi utilizado um intervalo de tempo próximo a 10π , o qual é suficiente para notar o comportamento esperado para esse caso, isto é, $\Delta\theta$ tende a cair conforme o tempo aumenta. Embora o sistema não exiba um gráfico propriamente exponencial, que na escala semi-logarítmica aparentaria uma reta, podemos estimar λ utilizando os 4 pontos que correspondem aos picos observados na Figura 9. Aplicando uma regressão nesses pontos, chegamos em $\lambda = -0,249$, de forma que $\lambda < 0$ evidencia que o sistema é não caótico.

Agora, vejamos como esse parâmetro se comporta no caso caótico.

Figura 10: Diferença de ângulo por tempo para $F_0 = 1, 2$, escala semilog.



Note que, dessa vez, foi considerado um intervalo de tempo bem maior, cerca de 200π , a fim de ser possível observar o comportamento divergente de $\Delta\theta$; mesmo que a função apresente alguns mínimos locais, ela tem um comportamento geral visivelmente crescente. Da mesma forma que o caso anterior, embora o gráfico da Figura 10 não apresente um comportamento propriamente exponencial, podemos estimar λ para $t > 100$ s, que deve ser o mais próximo do valor esperado quando $t \rightarrow \infty$, pegando a reta média que passa pelos pontos $(101.34, 28.7420782)$ e $(628.32, 124.4089841)$. Portanto, chegamos em $\lambda = 0,00278$, de forma que $\lambda > 0$ evidencia que o sistema é caótico. Observe que o λ encontrado aqui é bem menor, em módulo, do que o valor encontrado para o caso não caótico. Além disso, vale destacar que ambas as estimativas são bastante imprecisas pois foram considerados poucos pontos para o cálculo de cada expoente de *Liapunov*, em relação ao número total de pontos disponíveis.

4 Tarefa D

Na quarta tarefa, foi estudado o comportamento das curvas de $\omega(\theta)$ para os casos vistos no item anterior, isto é, $F_0 = 0,5$ e $F_0 = 1,2$. Com isso, foi possível observar padrões interessantes até mesmo no segundo caso, o qual já foi caracterizado como um movimento caótico; tais padrões não são perdidos nem quando verificamos $\omega(\theta)$ para condições iniciais diferentes, porém próximas, algo que será melhor explorado na próxima tarefa, quando o conceito de secção de Poincaré for introduzido.

No programa abaixo, as condições iniciais e as constantes relacionadas ao problema são definidas no início do código, enquanto o algoritmo de Euler-Cromer é implementado logo em seguida, junto com uma parte que garante que o ângulo entre o pêndulo e a vertical esteja sempre entre $-\pi$ e $+\pi$; o código gera ainda um arquivo de saída com os dados utilizados na construção do gráfico para determinadas condições iniciais. Para cada um dos dois valores de F_0 , foram testados 3 condições iniciais diferentes: $\theta_0 = 5^\circ$, $\theta_0 = 10^\circ$ e $\theta_0 = 15^\circ$, todas com velocidade angular inicial nula, além dos pontos terem sido coletados até o instante $T = 200\pi$.

tarefa-D-11212550.f:

```

1      program tarefaD
2
3      implicit real*8 (a-h,o-z)
4      pi = dacos(-1.d0)
5  c    angulo inicial que o pêndulo faz com a vertical
6      ang = pi/12
7  c    velocidade angular inicial
8      vel = 0.d0
9  c    intervalo utilizado na discretização do tempo
10     deltat = 0.03d0
11  c    tempo total de movimento
12     T = 0.d0
13  c    coeficiente de amortecimento
14     q = 0.5d0
15  c    amplitude de força externa
16     F0 = 1.2d0
17  c    frequência da força externa
18     omegaF = 2.d0/3
19
20     open(1, file='saida-D-11212550')
21     write(1, 100) 'theta(rad)', '|', 'omega(rad/s)'
22  10   if (T.le.200*pi) then
23  c    algoritmo de Euler-Cromer
24     vel = vel - dsin(ang)*deltat - q*vel*deltat+
25 +      F0*dsin(omegaF*T)*deltat
26     ang = ang + vel*deltat
27     T = T + deltat
28  c    mantém o ângulo sempre entre -pi e +pi
29     if (abs(ang).gt.pi) then
30         angaux = ang*180/pi
31         if (angaux.gt.0) then
32             angaux = mod((angaux+180.d0), 360.d0) - 180.d0
33         else
34             angaux = mod((angaux+180.d0), 360.d0) + 180.d0
35         end if
36         angaux = angaux*pi/180
37         write(1, 200)angaux, '|', vel
38     else

```

```

39         write(1, 200)ang, '|', vel
40     end if
41     goto 10
42 end if
43 close(1)
44
45 100 format(A10, A, A12)
46 200 format(F10.7, A, F11.7)
47
48     end

```

O programa gerou os seguintes resultados para o caso $F_0 = 0,5$:

Figura 11: Velocidade angular por ângulo para $F_0 = 0,5$ e $\theta_0 = 5^\circ$.

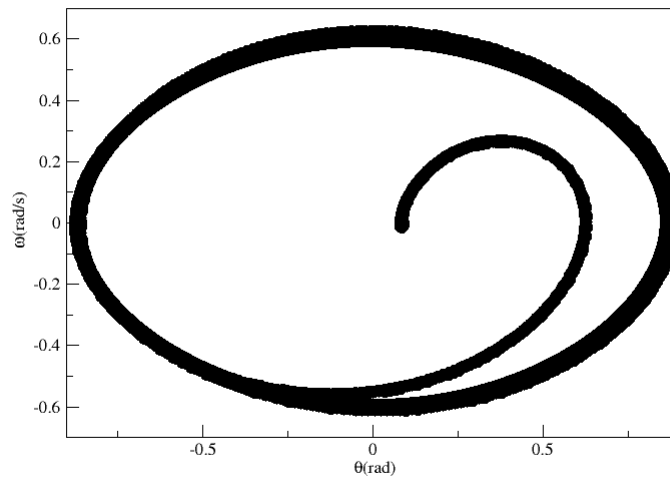


Figura 12: Velocidade angular por ângulo para $F_0 = 0,5$ e $\theta_0 = 10^\circ$.

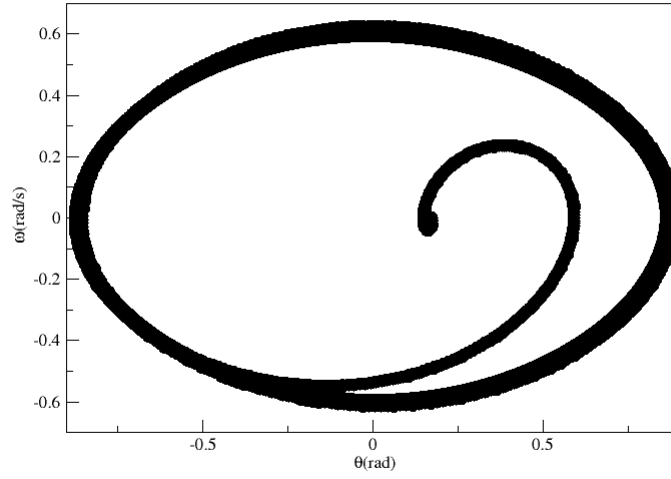
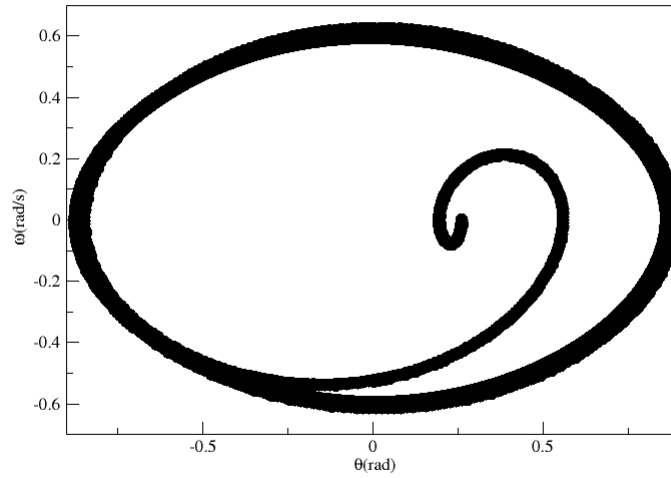


Figura 13: Velocidade angular por ângulo para $F_0 = 0,5$ e $\theta_0 = 15^\circ$.



Note que, nas 3 situações acima, o sistema se comporta da mesma forma,

ou seja, inicia próximo da origem do gráfico e evolui até formar uma elipse, e esse padrão de elipse se repete até o fim do intervalo estudado, visto que as linhas da borda dela são mais grossa do que a curva no interior, indicando uma maior concentração de pontos. É possível interpretar esse resultado de acordo com a solução teórica para o problema não caótico, uma vez que ela consiste de um termo transiente e um estacionário; no início, o termo transiente prevalece, então o sistema está evoluindo e não possui uma curva bem definida (varia ligeiramente com a mudança do ângulo inicial), até que o sistema alcança o regime estacionário, representado pelo segundo termo, e os pontos passam a ser distribuídos apenas ao longo da elipse.

Agora, observe como $\omega(\theta)$ se comporta para o caso $F_0 = 1, 2$.

Figura 14: Velocidade angular por ângulo para $F_0 = 1, 2$ e $\theta_0 = 5^\circ$.

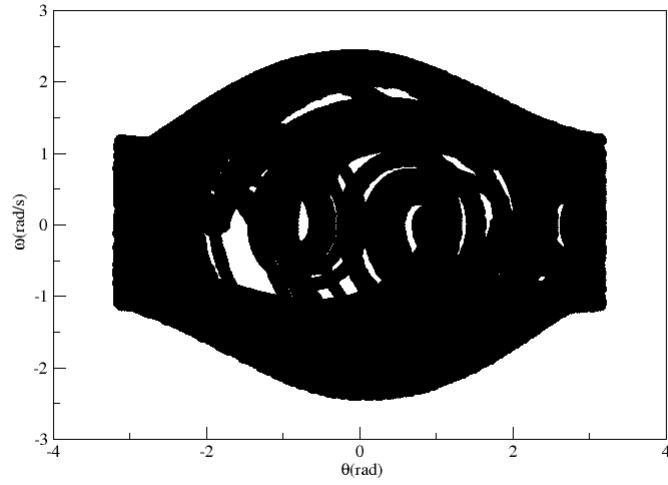


Figura 15: Velocidade angular por ângulo para $F_0 = 1, 2$ e $\theta_0 = 10^\circ$.

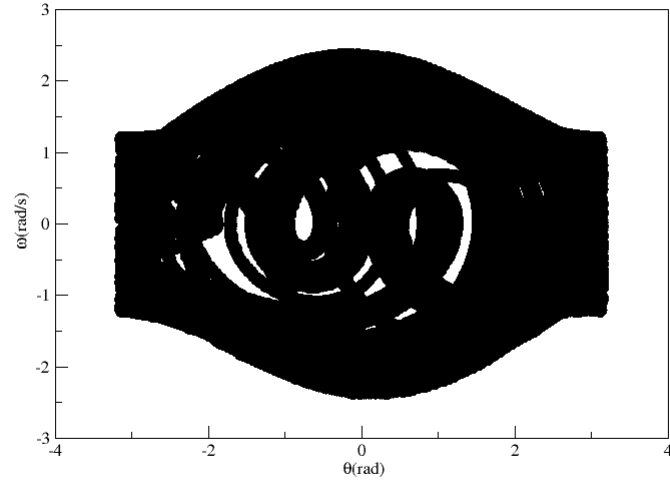
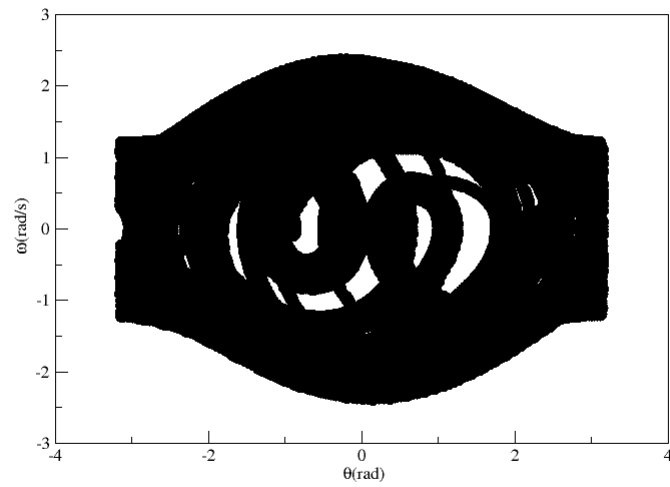


Figura 16: Velocidade angular por ângulo para $F_0 = 1, 2$ e $\theta_0 = 15^\circ$.



Como esperado, os pontos não seguem uma curva bem definida como no

caso anterior, pelo contrário, se distribuem de forma mais uniforme no chamado espaço de fase, sendo possível observar verdadeiras manchas, mostrando a grande variedade de regiões que o sistema alcança. Entretanto, destaca-se que o sistema não é tão caótico quanto se esperava, uma vez que, mesmo variando o ângulo inicial, a maior parte da região ocupada pelos pontos não muda. Embora o padrão mais próximo do centro seja mais complicado e não se repete com a variação de θ_0 , as regiões mais afastadas praticamente não mudam, sendo possível enxergar uma região bem definida, similar a uma elipse com as extremidades do semi-eixo maior achatadas. Fora dela, não há pontos em nenhum dos 3 casos, mostrando que, mesmo o movimento sendo caótico, há certas regiões que nunca foram visitadas pelo o pêndulo.

5 Tarefa E

Por fim, na última tarefa, que está intimamente relacionada com a anterior, foi estudado o comportamento das curvas de $\omega(\theta)$ para os casos $F_0 = 0, 5$ e $F_0 = 1, 2$ na secção de Poincaré, isto é, só foram coletados os dados necessários quando, na simulação, o tempo T satisfizer $|T - \frac{n\pi}{\Omega}| < \frac{\Delta t}{2}$, de forma que consideraremos apenas os n pares, o que resultará no gráfico de $\omega(\theta)$ no caso não caótico ser concentrado em um único ponto. No caso caótico, por outro lado, foi possível observar a formação de fractais, conhecidos como atratores estranhos, cuja forma não mesmo variando ligeiramente as condições iniciais.

No programa abaixo, que é bastante similar ao apresentado na tarefa D, ou seja, as condições iniciais e as constantes relacionadas ao problema são definidas no início do código, enquanto o algoritmo de Euler-Cromer é implementado logo em seguida, junto com uma parte que garante que o ângulo entre o pêndulo e a vertical esteja sempre entre $-\pi$ e $+\pi$, com a diferença de que agora, para todo T , calcula-se o n associado e verifica-se ele satisfaz a condição para estar na secção de Poincaré, além de ser par; o código gera ainda um arquivo de saída com os dados utilizados na construção do gráfico para determinadas condições iniciais. Novamente, para o caso $F_0 = 1, 2$, foram testados 3 condições iniciais diferentes: $\theta_0 = 5^\circ$, $\theta_0 = 10^\circ$ e $\theta_0 = 15^\circ$, enquanto para o outro foi testada apenas a condição $\theta_0 = 5^\circ$, a fim de verificar se o resultado segue o esperado pela teoria. Em todos os testes, a velocidade angular inicial era nula, além dos pontos terem sido coletados até o instante $T = 600\pi$.

tarefa-E-11212550.f:

```

1      program tarefaE
2
3      implicit real*8 (a-h,o-z)
4      pi = dacos(-1.d0)
5  c      angulo inicial que o pêndulo faz com a vertical
6      ang = pi/36
7  c      velocidade angular inicial
8      vel = 0.d0
```



```

9 c      intervalo utilizado na discretização do tempo
10      deltat = 0.03d0
11 c      tempo total de movimento
12      T = 0.d0
13 c      coeficiente de amortecimento
14      q = 0.5d0
15 c      amplitude de força externa
16      F0 = 0.5d0
17 c      frequência da força externa
18      omegaF = 2.d0/3
19
20      open(1, file='saida-E-11212550')
21      write(1, 100) 'theta(rad)', '|', 'omega(rad/s)'
22      write(1, 200)ang, '|', vel
23 10      if (T.le.600*pi) then
24 c          algoritmo de Euler-Cromer
25          vel = vel - dsin(ang)*deltat - q*vel*deltat+
26      +      F0*dsin(omegaF*T)*deltat
27          ang = ang + vel*deltat
28          T = T + deltat
29          x = omegaF*T/pi
30 c      encontra o n para traçar a secção de Poincaré
31          if ((x-int(x)).le.0.5) then
32              n = int(x)
33          else
34              n = int(x)+1
35          end if
36 c      aplica o critério numérico para os n pares
37          if (abs(T -
38      +      n*pi/omegaF).lt.deltat/2.and.mod(n,2).eq.0) then
39 c      mantém o ângulo sempre entre -pi e +pi
40          if (abs(ang).gt.pi) then
41              angaux = ang*180/pi
42              if (angaux.gt.0) then
43                  angaux = mod((angaux+180.d0), 360.d0) - 180.d0
44              else
45                  angaux = mod((angaux+180.d0), 360.d0) + 180.d0
46              end if
47              angaux = angaux*pi/180
48              write(1, 200)angaux, '|', vel
49          else
50              write(1, 200)ang, '|', vel
51          end if
52      end if
53      goto 10
54      end if
55      close(1)
56 100      format(A10, A, A12)
57 200      format(F10.7, A, F11.7)

```

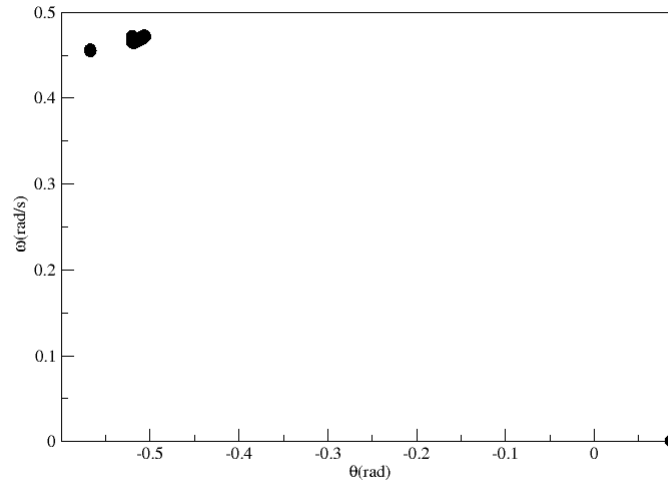
58

59

end

O programa gerou os seguintes resultados para o caso $F_0 = 0,5$:

Figura 17: Velocidade angular por ângulo para $F_0 = 0,5$ e $\theta_0 = 5^\circ$ na secção de Poincaré.



Observe que, de fato, a não ser pelo ponto determinado pela condição inicial, todos os outros encontrados se concentram em uma única região, que idealmente deveria ser um único ponto, isto é, se fosse utilizado $\Omega T = n\pi$ ao invés do intervalo considerado, que é mais apropriado para as aproximações numéricas. Vale destacar que o atrator ser um ponto é uma característica de sistemas periódicos, exatamente como o pêndulo se comporta no regime estacionário.

Agora, observe como $\omega(\theta)$ se comporta para o caso $F_0 = 1,2$.

Figura 18: Velocidade angular por ângulo para $F_0 = 1, 2$ e $\theta_0 = 5^\circ$ na secção de Poincaré.

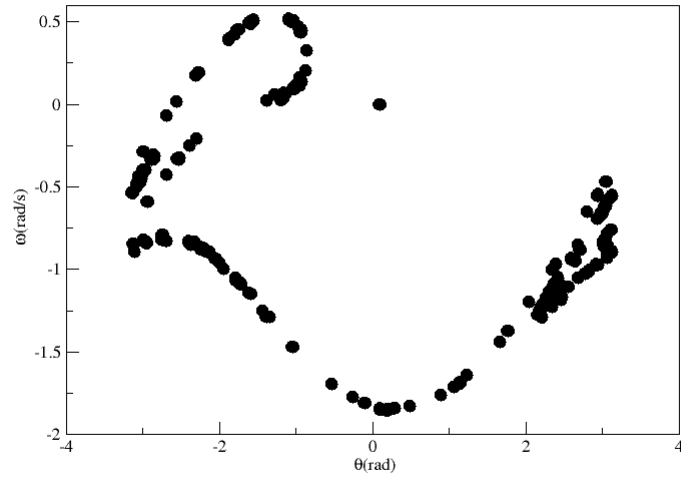


Figura 19: Velocidade angular por ângulo para $F_0 = 1, 2$ e $\theta_0 = 10^\circ$ na secção de Poincaré.

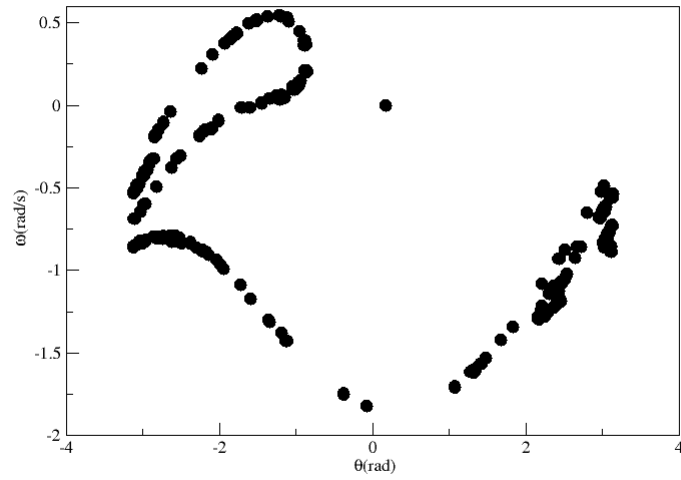
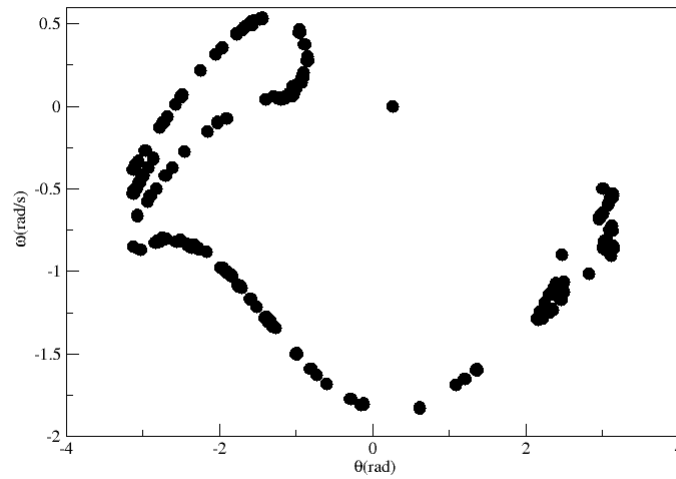


Figura 20: Velocidade angular por ângulo para $F_0 = 1, 2$ e $\theta_0 = 15^\circ$ na secção de Poincaré.



Por fim, o mais interessante: foi visto na tarefa anterior que o sistema, mesmo sendo caótico, possui regiões que nunca são visitadas, e agora, pegando os pontos na secção de Poincaré, é possível observar uma figura mais definida ainda, que pouco muda nos 3 casos, exemplificando a universalidade do caos nesse sistema. O atrator, nesse caso, é então conhecido por atrator estranho, caracterizado por um fractal que é uma estrutura complexa com propriedades bem diferentes, como auto-similaridade e dimensão fracionária. Fractais aparecem sempre como atratores de sistemas caóticos e podem ser usados como um identificador de um sistema desse tipo.